

Optimization of Weld Penetration in Presence of the MgO Nano-Particles in SAW Process Using Taguchi Method

Abstract

Nowadays, optimization by reducing manufacturing costs and time has become one of the important activities of manufacturing engineers and specially that of welding engineers in order to increase productivity. This paper reports a study carried out to analyze and subsequently optimize the welding input parameters in submerged arc welding (SAW) process in presence of the MgO nano-particles in order to relate them with the weld bead penetration which determines the stress carrying capacity of weldments. Therefore, a five-level five-factor Taguchi technique using 25 experiments based on orthogonal arrays was considered for collecting experimental data. Moreover, the input parameters considered were the welding current, arc voltage, nozzle-to-plate distance, welding speed, and thickness of MgO nano-particles. On the basis of the signal-to-noise ratio and analysis of variance (ANOVA), optimum levels for different input parameters were obtained. Since the weld penetration should be maximum in order to have a good quality weld, therefore, weld penetration was maximized accordingly. Based on the results obtained it is concluded that welding current is the most significant input parameter affecting the weld bead penetration. Analysis was carried out using Minitab 14 software. In the paper the interactions were not taken into consideration. On the basis of results obtained from this research work, it is concluded that, the weld bead penetration increased with the increase in the thickness of MgO nano-particles due to the so called Marangoni effect.

Keywords : Submerged Arc Welding , Weld Penetration , Taguchi Method , Analysis of Variance , Optimization

بهینه سازی نفوذ جوش در حضور نانوذرات اکسید منیزیم در فرآیند جوشکاری زیر پودری با استفاده از روش تاگوچی

چکیده:

از آنجا که بهینه سازی و کاهش هزینه و زمان همواره یکی از دغدغه‌های مهم بشرامروز بخصوص مهندسین جوش بوده است برآن شدیم تابانجام بررسی و مطالعه پیرامون بهینه سازی پارامترهای ورودی جوشکاری زیرپودری و نانوذرات اکسیدمنیزیم که رابطه ای مستقیم با هندسه گرده جوش دارند پردازیم. با استفاده از روش تاگوچی و براساس آرایه‌های متعامد برای پنج پارامتر ورودی جریان، ولتاژ، سرعت، فاصله نازل تاقطعه کار و خاصیت نانوذرات اکسیدمنیزیم در پنج سطح بادرنظر گرفتن در جات آزادی مجموعاً بالجام ۲۵ آزمایش به بررسی متغیر خروجی نفوذ جوش پرداختیم. با استفاده از مقادیر سیگنال به نویز و تحلیل واریانس به سطوح بهینه پارامترهای ورودی دست یافتیم. که در این پژوهش بیشترین مقدار برای نفوذبر اساس بهینه سازی انجام شده مدنظر قرار گرفته است. در پایان با توجه به نتایج نهایی بدست آمده از تحلیل واریانس، موثرترین پارامترهای ورودی برای عمق نفوذ جوش جریان می‌باشد. تمامی تحلیل‌ها با استفاده از نرم افزار آماری Minitab 14 انجام شده است و از اندرکنش پارامترهای ورودی در این پژوهش صرف نظر شده است.

واژه‌های کلیدی: جوشکاری زیر پودری، عمق نفوذ جوش، روش تاگوچی، تحلیل واریانس، بهینه سازی

مقدمه

جوشکاری زیر پودری یکی از پر کاربردترین روش‌های اتصال دائم قطعات بوده که در بین روش‌های جوشکاری قوس الکتریکی به خاطرمزا یابی چون کیفیت بالای جوش، جوشکاری با سرعت بالا، جوش با عمق نفوذ بالا و بدون پاشش قطرات مذاب و سطح هموار (Rowlands, Antony Tarng,yang,luang, 2000)، (Houldcroft, 1989) است. در جوشکاری زیر پودری گاز، کشتی سازی، مخازن تحت فشار، خطوط لوله‌های انتقال وغیره پیدا کرده است (Gunaraj, Murugan, 2000). بنابراین ایجاد جوشی با همانند سایر روش‌ها، کیفیت اتصال بطور مستقیم از هندسه جوش تاثیر می‌پذیرد (Nagesh, 2002). مشخصات هندسی مطلوب برای تحمل تنش‌های وارد شده بسیار باهمیت است. در این رابطه، به دلیل گستردگی و تعداد بالای پارامترهای دخالت کننده، تنظیم صحیح پارامترهای ورودی شامل سرعت جوشکاری، ولتاژ، نرخ تغذیه سیم، فاصله نازل تا قطعه کارجهت حصول جوش با مشخصات هندسی مطلوب باید بهترین نحو تعیین شود. در گذشته تعیین سطوح بهینه پارامترهای ورودی فرآیند، معمولاً علاوه بر دقت کم اغلب پر هزینه می‌باشد. در جوشکاری قطعات با ضخامت بالا، افزایش عمق نفوذ، یکی از اهداف مطلوب واصلی می‌باشد. افزایش عمق نفوذ، هزینه‌های جوشکاری را تحریک کاهش می‌دهد، که دلایل آن می‌تواند کاهش تجهیزات مورد نیاز برای پخت زی و آماده سازی نمونه جوش، کاهش در تعداد پاس‌های جوش، کوتاه شدن زمان جوشکاری، صرفه‌جویی در میزان فلز پر کننده، حذف شیار زنی و سنگزنانه اعوجاج می‌باشد. با توجه به اینکه افزایش عمق نفوذ باعث کاهش هزینه و زمان و نیز افزایش بهروری می‌شود، یکی از اهداف بررسی این فرآیند، افزایش عمق نفوذ جوش با استفاده از فلکس فعال کننده برروی سطح قطعه است که با رخداد این مکانیزم تمرکز قوس افزایش می‌یابد و منجر به افزایش چگالی جریان در راس قوس می‌شود و در نهایت عمق نفوذ افزایش می‌یابد (کوکبی، ۱۳۸۳). روش دیگر، افزایش میزان جوشکاری است. با افزایش میزان جوشکاری، حرارت ورودی و عرض ناحیه منطقه متأثر از گرما نیز افزایش می‌یابد، که امری نامطلوب است. بنابراین مقادیر پارامترهای ورودی باید طوری انتخاب شوند که به حداقل عمق نفوذ دست پیدا کرد.

سابقه استفاده از پودر پوششی به آناماوهم کارانش بر می‌گردد که تاثیر پودر پوششی TiO_2 را بر روی خواص مکانیکی و ریز ساختار فولادهای جوشکاری شده با فرآیند جوشکاری زیر پودری بررسی نمودند (Ma, et al, 2001). فتحی و همکاران بهبود ضریب چقرمگی فلز جوش AWS E6010 با اضافه شدن نانوذرات TiO_2 به پوشش الکترودهارا گزارش کردند (Fattahi, Nabhani, Vaezi, Rahimi, 2011). پال و مایتی اثر اندازه نانوذرات TiO_2 را بر روی خواص مکانیکی الکتروdoneع AWS E11018M بررسی کردند که خواص ضربه شارپی به علت تغییرات مقدار تیتانیم رسوب جوش بهبود یافته است (Pal, Maity, 2011). آقاخانی و همکاران اثر نانوذرات TiO_2 بر روی پهنای جوش را در فرآیند جوشکاری قوسی زیر پودری بررسی کردند و نتیجه گرفتند که اضافه شدن نانوذرات TiO_2 در ابتدا پهناهی جوش را افزایش وسیس آن را کاهش می‌دهد (Aghakhani, Ghaderi, Slampannah, Farzamnia, 2012). همچنین، آقاخانی و همکاران گزارش کردند که نفوذ جوش به وسیله اضافه شدن نانوذرات TiO_2 به حوضچه جوش تحت تاثیر قرار می‌گیرد (Aghakhani, Ghaderi, Rajabi, Derakhshan, 2011). در این مقاله، از روش تاگوچی برای مدلسازی و بهینه سازی نفوذ جوش در فرآیند جوشکاری زیر پودری استفاده شد. بدین منظور پارامترهای موثر این فرآیند که شامل ولتاژ جوشکاری (V)، شدت جریان جوشکاری (I)، فاصله نازل تا قطعه کار (N)، سرعت جوشکاری (S) و پارامتر دیگری که ضخامت نانوذرات اکسید منیزیم (F) می‌باشد به عنوان پارامترهای ورودی انتخاب شد. نتایج کار نشان می‌دهد که روش تاگوچی با دقت بسیار بالایی می‌تواند ابعاد گرده جوشکاری را تخمین بزند.

طراحی آزمایشات روش آزمایش

برای جوشکاری قطعات، سطح قطعه کاربا نا نوبود را کسید منیزیم پوشانده شد. سپس فرآیند جوشکاری با استفاده از دستگاه نیمه اتوماتیک پارس کت^۱ P2310 با جریان مستقیم و قطبیت معکوس (DCRP) روی این لایه به روش جوشکاری مهره روی ورق^۲ انجام شد. ابعاد قطعه کار $150\text{ mm} \times 50\text{ mm} \times 15\text{ mm}$ و جنس آن فولاد St37 است، سیم جوش مصرفی S1 (DIN EN 756)^۳ با قطر ۳.۲ میلیمتری باشد. شکل ۱ دستگاه جوشکاری زیر پودری را برای انجام آزمایشات نشان می‌دهد. ترکیب شیمیایی سیم جوش و فلز پایه بترتیب در جدول ۱ و ۲ آمده است.

جدول ۱ - ترکیب شیمیایی سیم جوش مصرفی

نوع سیم جوش		درصد وزنی				
نام تجاری آما	DIN/EN	کربن	سیلیسیم	منگنز	مولیبدن	کروم
50-11	S1	۰.۰۴-۰.۰۸	۰.۵-۰.۸	۰.۹-۱.۳	-	-

جدول ۲ - ترکیب شیمیایی فلز پایه

نوع فلز		ترکیب شیمیایی		
درجه یا دسته	DIN/EN	فسفر	سیلیسیم	کربن
St37	1629	≤ 0.17	≤ 0.40	≤ 0.40

پس از اتمام جوشکاری، قطعات به وسیله دستگاه واپرکات^۳ در راستای عمود بر خط جوش به فاصله ۷۰ میلیمتر از لبه بریده شدند. سطح مقطع برش خورده ابتدا سمباده زنی به وسیله به وسیله سنbadه‌های ۲۴۰، ۳۲۰، ۴۰۰، و ۶۰۰ آماده‌سازی شد و سپس توسط آلومینای ۶ میکرومتر پولیش داده شدند. سپس، سطح مقطع قطعات به وسیله محلول ۲ درصد، نایتال^۴ به مدت ۱ دقیقه اج گردید. پس از آماده شدن قطعات، نفوذ جوش به وسیله میکروسکوپ الیمپوس^۵ (مدل PME3) اندازه‌گیری شد.

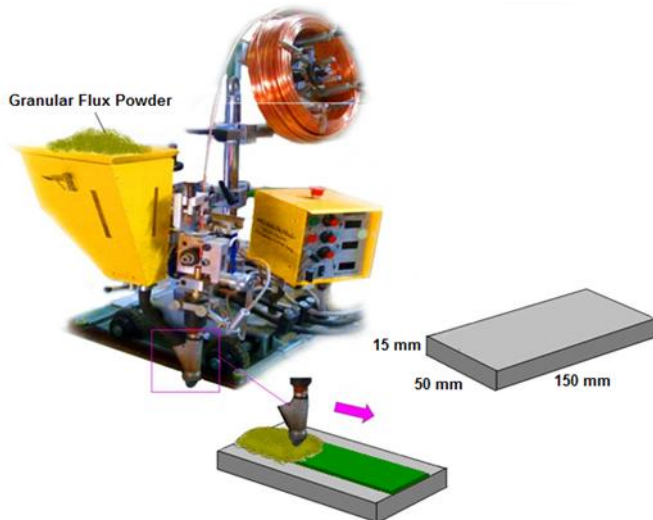
^۱- Pars Cat

^۲- Bead-on-Plate

^۳- Wire Cut

^۴- Nital

^۵- Olympus



شکل ۱ - دستگاه جوشکاری زیر پودری

طراحی آزمایش بر اساس روش تاگوچی

انجام آزمایش بطوروسیعی در علوم مختلف از جمله علوم مهندسی به کارمی‌رود. هدف از انجام آزمایش بررسی اثر پارامترهای ورودی و همچنین ارائه یک مدل به منظور عدم تکرار آزمایش در شرایط مشابه و در نتیجه کاهش هزینه‌ها و زمان و افزایش بهره‌وری می‌باشد. بر این اساس، هدف از این مطالعه بهینه‌سازی و مدلسازی پارامترهای ورودی فرآیند جوشکاری زیر پودری به کمک روش تحلیل آزمایش-های تاگوچی می‌باشد. روش تاگوچی یک روش تحلیل آزمایش است؛ که بر مبنای آن می‌توان با تعداد معینی آزمایش میزان تاثیر عوامل و سطوح بهینه مطالعات تجربی و آزمایشگاهی را پیش‌بینی کرد. به همین منظور، بر اساس آرایه‌های متعامد L₂₅ برای پنج پارامتر ورودی شدت جریان جوشکاری، ولتاژ قوس، فاصله نازل تا قطعه کار، سرعت جوشکاری و ضخامت نانوپودر اکسید منیزیم (MgO) در پنج سطح با انجام ۲۵ آزمایش به بررسی پارامترهای خروجی عمق نفوذ‌جوش فولاد St37 پرداخته شد. مقادیر پارامترهای ورودی در سطوح مختلف در جدول ۳ و ماتریس طراحی و در جدول ۴ نشان داده شده است. همچنین، با استفاده از مقادیر نسبت سیگنال به نویز^۶ و تحلیل واریانس^۷ به سطوح بهینه پارامترهای ورودی دست یافتیم. تمامی تحلیل‌ها با استفاده از نرم افزار آماری Minitab 14 انجام شده است و از اندرکنش پارامترهای ورودی در این پژوهش صرف نظر شده است.

۶- Signal to Noise ratio (S/N)

۷- Analysis of variance (ANOVA)

جدول ۳ - پارامترهای جوشکاری و محدوده‌های آنها

واحد	کدگذاری					نماد	متغیر ورودی
	۵	۴	۳	۲	۱		
آمپر	۷۰۰	۶۵۰	۶۰۰	۵۵۰	۵۰۰	I	جريان
ولت	۳۲	۳۰	۲۸	۲۶	۲۴	V	ولتاژ قوس
میلیمتر	۴۰	۳۷.۵	۳۵	۳۲.۵	۳۰	N	فاصله نازل تا قطعه کار
میلیمتر/دقیقه	۵۰۰	۴۵۰	۴۰۰	۳۵۰	۳۰۰	S	سرعت جوشکاری
میلیمتر	۱	۰.۷۵	۰.۵	۰.۲۵	۰	F	ضخامت مواد نانو

جدول ۴ - ماتریس طراحی

No.	V	I	N	S	F	No.	V	I	N	S	F
۱	۱	۱	۱	۱	۱	۱۴	۳	۴	۱	۳	۵
۲	۱	۲	۲	۲	۲	۱۵	۳	۵	۲	۴	۱
۳	۱	۳	۳	۳	۳	۱۶	۴	۱	۴	۲	۵
۴	۱	۴	۴	۴	۴	۱۷	۴	۲	۵	۳	۱
۵	۱	۵	۵	۵	۵	۱۸	۴	۳	۱	۴	۲
۶	۲	۱	۲	۳	۴	۱۹	۴	۴	۲	۵	۳
۷	۲	۲	۳	۴	۵	۲۰	۴	۵	۳	۱	۴
۸	۲	۳	۴	۵	۱	۲۱	۵	۱	۵	۴	۳
۹	۲	۴	۵	۱	۲	۲۲	۵	۲	۱	۵	۴
۱۰	۲	۵	۱	۲	۳	۲۳	۵	۳	۲	۱	۵
۱۱	۳	۱	۳	۵	۲	۲۴	۵	۴	۳	۲	۱
۱۲	۳	۲	۴	۱	۳	۲۵	۵	۵	۴	۳	۲
۱۳	۳	۳	۵	۲	۴						

نتایج و بحث

S/N

بمنظور دستیابی به میزان حساسیت پارامترهای شرایط بهینه در فرآیند جوشکاری ازروش تاگوچی استفاده کردہ ایم چراکه این دیدگاه روشی برای بهبود کیفیت محصول از طریق کاهش اثرات تغییرات بدون حذف علت آن هاست (Chen, Allen, Tsui, Mistree, 1996) (Du, Sudjianto, Chen, 2004), (Seok, Soon, Seok, Deuk, Won, 2010), کنترل غیرقابل کنترل تقسیم بندی می شوند. به عنوان مثال در جوشکاری زیر پودری شدت جریان، ولتاژ، سرعت، فاصله نازل تا قطعه کار و ... جزء عوامل کنترلی هستند. پارامترهای غیرکنترلی تمام عواملی هستند که باعث ایجاد تغییرات می شوند؛

اما به دلیل این که کنترل آن هامشکل است یا شناخت کافی از آن‌ها وجود ندارد، بر حسب مورد ثابت در نظر گرفته می‌شوند. به عنوان مثال، در فرآیند جوشکاری زیر پودری ارتعاشات دستگاه، تغییر پارامترهای داده شده به دستگاه در حین جوشکاری، دما، رطوبت و سایر عوامل محیطی، عوامل غیرکنترلی محسوب می‌شوند. ابزاری که روش تاگوچی برای تحلیل نتایج حاصل از آزمایشات از آن استفاده می‌کند؛ روش تحلیل نسبت SN می‌باشد، که این نسبت نشان دهنده حساسیت مشخصه مورد بررسی به فاکتورهای ورودی در یک فرآیند کنترل شده می‌باشد. شرایط بهینه با تعیین تاثیر هر یک از فاکتورهای ورودی بر روی مشخصه خروجی، شناسایی می‌شود (Roy, 1990) (که هدف آنالیز S/N تعیین بهترین ترکیب‌بندی سطوح عوامل مختلف برای دستیابی به پاسخ بهینه می‌باشد و درسه حالت متفاوت به صورت ذیل تعریف می‌شود:

«مقدار اسمی-بهتر» (NB) «مقدار کمتر-بهتر» (LB) و «مقدار بزرگتر-بهتر» (HB)

در این مقاله برای دستیابی به نتایج مطلوب برای عمق نفوذ جوش مقدار HB منظور شده است؛ که مقدار این نسبت برای پارامتر خروجی نامبرده به صورت زیر (رابطه ۱) محاسبه می‌شوند:

$$SN = -10 \log \left(\frac{1}{n} \sum_{i=1}^n \frac{1}{y_i^2} \right) \quad (1)$$

در این رابطه y_i مقدار پاسخ یا خروجی و n تعداد آزمایشات انجام شده است.

با استفاده از مقادیر تجربی پارامترهای خروجی مقادیر نسبت S/N برای پارامتر عمق نفوذ جوش محاسبه شد (جدول ۵). در جدول ۶ نسبت مطلوبیت به بدی کارکرد S/N برای هر یک از سطوح فاکتورهای کنترل محاسبه شده است که با مقایسه مقدار این نسبت برای سطوح هر فاکتور، بیشترین مقدار نشان دهنده بهترین سطح هر فاکتور است. بر اساس نسبت S/N در جدول دو عنوان Delta و Rank مشاهده می‌شود که نشان دهنده اهمیت پارامترها در فرآیند می‌باشد. هر چقدر مقدار Delta برای یک پارامتر بیشتر باشد نشان دهنده مهمتر بودن آن پارامتر در فرآیند است. با افزایش مقدار Rank نیز اهمیت و تاثیر آن پارامتر بر خروجی موردنظر کاسته می‌شود.

جدول ۵- مقادیر تجربی پارامترهای و مقادیر نسبت S/N

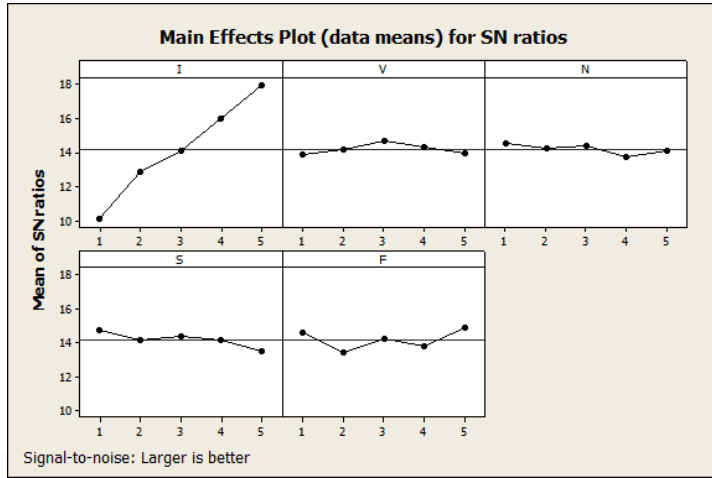
No.	Penetration	SN ratio	No.	Penetration	SN ratio
۱	۳.۶۱	۱۱.۱۵۰۱	۱۴	۵.۸۳	۱۵.۳۱۳۴
۲	۲.۹۲	۹.۳۰۷۷	۱۵	۵.۳۱	۱۴.۵۰۱۹
۳	۳.۶۷	۱۱.۲۹۳۳	۱۶	۶.۳۶	۱۶.۰۶۹۱
۴	۲.۹۸	۹.۴۸۴۳	۱۷	۶.۷۵	۱۶.۵۸۶۱
۵	۲.۹۳	۹.۳۳۷۴	۱۸	۵.۹۷	۱۵.۵۱۹۵
۶	۳.۹۴	۱۱.۹۰۹۹	۱۹	۶.۰۶	۱۵.۶۴۹۵
۷	۴.۹۲	۱۳.۸۳۹۳	۲۰	۶.۲۶	۱۵.۹۳۱۵
۸	۴.۲۰	۱۲.۴۶۵۰	۲۱	۷.۴۴	۱۷.۴۳۱۵
۹	۴.۳۹	۱۲.۸۴۹۳	۲۲	۷.۴۴	۱۷.۴۳۱۵
۱۰	۴.۴۸	۱۳.۰۲۵۶	۲۳	۹.۹۱	۱۹.۹۲۱۵
۱۱	۴.۳۶	۱۲.۷۸۹۷	۲۴	۸.۰۶	۱۸.۱۲۶۷
۱۲	۴.۸۸	۱۳.۷۶۸۴	۲۵	۶.۹۵	۱۶.۸۳۹۷
۱۳	۵.۱۱	۱۴.۱۶۸۴			

در فاکتورولتاژ سطح سوم دارای بیشترین نسبت N/S است، لذا ولتاژ ۲۴ ولت برای این فاکتور به عنوان بهترین سطح انتخاب می‌شود. فاکتور جریان در سطح پنجم (۷۰۰ آمپر)، فاکتور فاصله نازل تا قطعه کار در سطح اول (۳۰۰ میلیمتر)، سرعت در سطح اول (۳۰۰ میلیمتر بر دقیقه) و ضخامت نانوذرات در سطح پنجم (۱ میلیمتر) به عنوان بهترین سطوح انتخاب می‌شوند. در این جدول، با مقایسه مقدار دلتا که از تفاضل بیشترین مقدار نسبت N/S به کمترین مقدار آن به دست می‌آید، می‌توان متغیرها را براساس بیشترین تأثیر بر نسبت N/S رتبه بندی کرد. با توجه به جدول فوق به ترتیب جریان، ضخامت نانوذرات، سرعت، ولتاژ و فاصله نازل تا قطعه کار روی نفوذ دارای بیشترین تأثیر هستند.

جدول ۶- پاسخ‌های متوسط نسبت N/S برای نفوذ.

F	S	N	I	V	سطح
۱۴.۵۷	۱۴.۷۲	۱۴.۴۹	۱۰.۱۱	۱۳.۸۷	۱
۱۳.۴۶	۱۴.۱۴	۱۴.۲۶	۱۲.۸۲	۱۴.۱۹	۲
۱۴.۲۳	۱۴.۳۹	۱۴.۴۰	۱۴.۱۱	۱۴.۶۷	۳
۱۳.۷۹	۱۴.۱۶	۱۳.۷۳	۱۵.۹۵	۱۴.۲۸	۴
۱۴.۹۰	۱۳.۵۳	۱۴.۰۷	۱۷.۹۵	۱۳.۹۳	۵
۱.۴۳	۱.۱۹	۰.۷۶	۷.۸۴	۰.۸۰	Delta
۲	۳	۵	۱	۴	Rank

علاوه بر این، تأثیر پارامترهای ورودی بر روی نسبت N/S در شکل ۲ نشان داده شده است. نقطه بالاترنشان دهنده مقدار بیشتر نسبت N/S است. در فاکتور جریان سطح پنجم بیشترین مقدار، ولتاژ در سطح سوم، فاصله نازل تا قطعه کار و سرعت در سطح اول و ضخامت نانوذرات در سطح پنجم دارای بیشترین مقدار نسبت N/S است که این نتایج در واقع شکل ترسیمی از نتایج جدول بالا است. با توجه به نمودار می‌توان نتیجه گرفت که با افزایش جریان نفوذ نیز افزایش خواهد داشت چون گرمای ورودی افزایش یافته اما تأثیر سایر پارامترهای ورودی سرعت، ولتاژ، فاصله نازل تا قطعه کار و ضخامت نانوذرات بر تغییرات نفوذ نوسانی است. هرچه شیب خطوط در هر فاکتور بیشتر باشد، اثرات اصلی آن فاکتور بر نسبت N/S بیشتر است؛ حالت بهینه در مرحله 5a در تحلیل N/S که برای نفوذ هر چه بیشتر، بهتر رخ می‌دهد.



شکل ۲ - تأثیر پارامترهای ورودی بر روی نسبت S/N

تحلیل واریانس و بهینه‌سازی

به منظور اعتبار سنجی و انتخاب مدل‌های برتر، از آزمون‌های آماری استفاده می‌شود. جدول ۷ تحلیل واریانس برای نفوذجوش را نشان می‌دهد. براساس تحلیل آماری داده‌ها، این روش می‌تواند استدلال کند که کدام پارامتر مهمترین و بیشترین اثر را بر پارامتر خروجی موردنظر خواهد داشت. که در جداول ANOVA مقدار P دارای اهمیت است، بدین صورت که اگر کمترین مقدار را داشته باشد یعنی آن پارامتر ورودی تأثیر و اهمیت بیشتری بر پارامتر خروجی موردنظر دارد و این مقاله زمانی که مقدار P کمتر از ۰.۰۵ باشد اثر پارامترهای ورودی بر خروجی بیشترین خواهد بود. سطح اطمینان برای این تحقیق برابر ۹۵٪ است (ناطق هنریخش رئوف، وحدتی خاکی، ۱۳۸۹).

جدول ۷- تحلیل واریانس پارامترها برای نفوذ.

Source	DF	Seq SS	Adj SS	Adj MS	F	P
I	4	65.9525	65.9525	16.4881	83.74	0.000
V	4	1.2729	1.2729	0.3182	1.62	0.327
N	4	0.8536	0.8536	0.2134	1.08	0.470
S	4	1.6794	1.6794	0.4198	2.13	0.241
F	4	3.4389	3.4389	0.8597	4.37	0.091
Error	4	0.7876	0.7876	0.1969		
Total	24	73.9850				

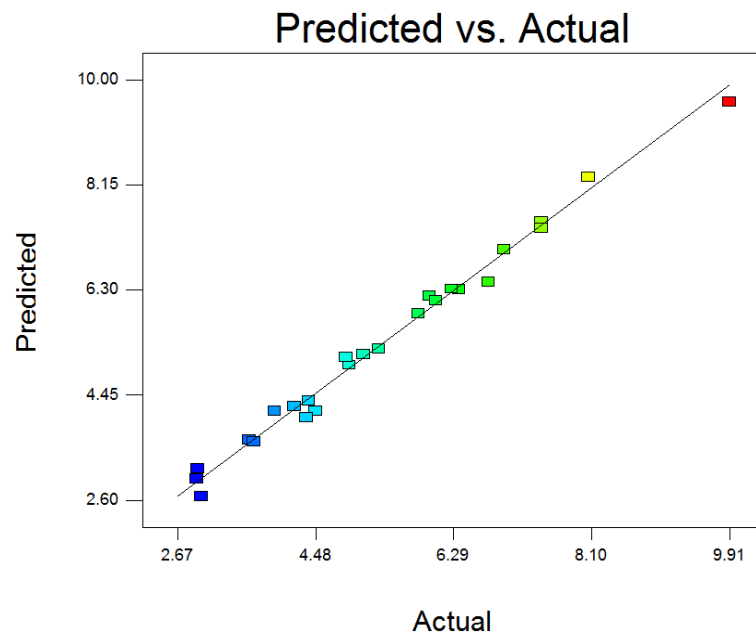
DF= Degrees of Freedom, Seq SS = Sequential Sum of Squares; Adj SS= Adjusted Mean Squares; Adj MS= Adjusted Mean Squares; F= Fisher's F ratio; P= Probability of Significance

S = 0.4437

R² = 98.9%

R²_{adj} = 93.6%

بانتوجه به جدول ۷ و مقدار P حاصل پارامترهای مؤثر بر نفوذ به ترتیب اهمیت: جریان، ضخامت نانوذرات، سرعت، ولتاژ و فاصله نازل تاقطعه کارمی باشد. یکی دیگر از معیارهای مهم برای ارزیابی دقت و کیفیت مدل‌های برآورد شده، ضریب همبستگی^۱ است. این ضریب، میزان وابستگی بین پارامترهای ورودی و خروجی یک سیستم را تعیین می‌نماید. هرچه این مقدار به سمت یک میل کند، نشان دهنده وابستگی بیشتر بین پارامترهای ورودی و خروجی خواهد بود. (Montgomery, Rung, 2010) (شکل ۳) میزان همبستگی داده‌ها و پیش‌بینی‌های Design Expert روش تاگوچی رانشان می‌دهد که همان گونه که در نتایج آنالیزواریانس هم آمده دقت آن ۹۳.۶٪ است که توسط نرم افزار 7.0 استخراج شده است.



شکل ۳- نمودار مقادیر پیش‌بینی شده در مقابل مقدار واقعی برای نفوذ.

در این مقاله عمق نفوذ جوش می‌تواند مقداری بهینه داشته باشد که برای محاسبه آن ازتابع مطلوبیت استفاده می‌شود. برای این منظور، با استفاده از نرم افزار Minitab 14، تابع مطلوبیت کلی براساس توابع مطلوبیت میانگین‌ها و واریانس‌های پنج پارامتر ورودی در پنج سطح معرفی گردید که نتایج در جدول ۸ ارائه شده است. همچنین، جواب بهینه نیز برای پنج پارامتر مؤثر در جدول ۸ آورده شده است. در این روش، مطلوبیت هر هدف مشخص شده و سپس با استفاده از روشی نظریه میانگین هندسی مطلوبیت کل محاسبه می‌شود. اگر مطلوبیت تابع $y_i(x)$ به صورت یکنواخت افزایشی باشد، میزان مطلوبیت مطابق رابطه ۲ محاسبه می‌شود (رشیدی، ۱۳۸۸):

$$d_i = \begin{cases} 0 & \hat{y}_i(x) \leq Y_i^{\min} \\ \left[\frac{\hat{y}_i(x) - Y_i^{\min}}{Y_i^{\max} - Y_i^{\min}} \right]^t & Y_i^{\min} \leq \hat{y}_i(x) \leq Y_i^{\max} \\ 1 & \hat{y}_i(x) \geq Y_i^{\max} \end{cases} \quad (2)$$

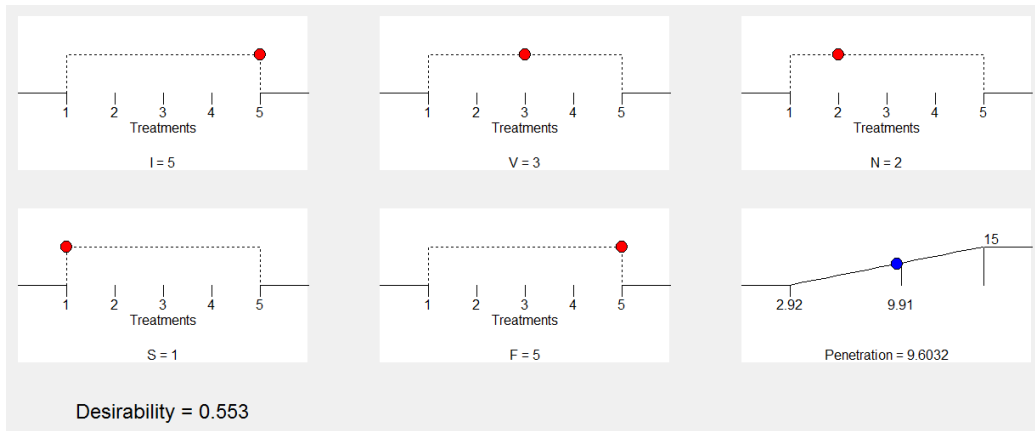
که در آن $\hat{y}_i(x)$ تخمینی از $y_i(x)$ و Y_i^{\min} حداقل مقدار قابل قبول $y_i(x)$ از نظر تصمیم گیرنده، Y_i^{\max} مقداری از $y_i(x)$ که حداکثر مطلوبیت را برای تصمیم گیرنده دارد و از آن به بعد مطلوبیت افزایش نمی‌یابد و t نیز پارامتر تعیین کننده شکل تابع مطلوبیت می‌باشد.

استفاده از تابع مطلوبیت هر چندروش کارآمدی محسوب می‌شود، ولی مشکلات خاص خود را دارد. یکی از مشکلات این روش، دشوار بودن رسم منحنی‌های بی‌تفاوتی و تعیین مطلوبیت است. تعیین مطلوبیت نسبت به قضاوت‌های تصمیم گیرنده بسیار حساس است. از سوی دیگر، تکنیک فوق زمانی کاربرد دارد که مطلوبیت مربوط به متغیرهای وابسته به طور یکنواخت کاهشی یا افزایشی باشد یا به بیان دیگر، هر چه میزان متغیر پاسخ بیشتر (یا کمتر) باشد مطلوب‌تر باشد. اما همواره این احتمال وجود دارد که تابع مطلوبیت از توان دوم باشد. در این صورت مناسب‌ترین ارزش یک پاسخ ممکن است در وسط دامنه تغییرات آن قرار گیرد.

جدول ۸ - مقادیر بهینه پارامترهای ورودی برای نفوذ.

I	V	N	S	F	Max of Penetration mm ۹.۶۰
۵	۳	۲	۱	۵	

شرایط بهینه عوامل در محدوده سطوح انتخاب شده شامل میزان شدت جریان ۶۰۰ آمپر، ولتاژ قوس ۲۸ ولت، فاصله نازل تا قطعه-کار ۳۲.۵ میلیمتر، سرعت جوشکاری ۳۰۰ میلیمتر بر دقیقه و ضخامت نانو مواد ۱ میلیمتر می‌باشد. در این حالت جداکثر نفوذ جوش ۹.۶۰ میلیمتر می‌باشد و مقدار مطلوبیت مطابق شکل ۴ برابر ۰.۵۵۳ می‌باشد.



شکل ۴ -تابع مطلوبیت برای نفوذ جوش

نتیجه گیری

هدف از انجام این تحقیق دستیابی به مقادیر بهینه برای بهبود در کیفیت جوش و خواص مکانیکی مورد نظر بوده است. در پایان با انجام تمام مراحل اثر هر یک از پارامترهای ورودی را بر عمق نفوذ جوش به صورت زیر می‌باشد:

۱ - با توجه به نمودارهای میانگین $\text{SN}_5\text{V}_3\text{N}_1\text{F}_5$ در مرحله I_5 رخ می‌دهد.

۲ - با توجه به نتایج جدول و درجه اطمینان ۹۵ درصد به ترتیب پارامترهای ورودی شدت جریان، ضخامت نانوذرات، سرعت، ولتاژ و فاصله نازل تا قطعه کار روی نفوذ جوش دارای بیشترین تأثیر هستند علت این افزایش نفوذ با افزایش شدت جریان گرمای ورودی به قطعه کار افزایش میابد پس نفوذ زیاد میشود همچنین با افزایش موادنابو و ایجاد پدیده مارانگونی نفوذ زیاد میشود و با کاهش سرعت حرکت نازل جوش باعث افزایش گرمای محل جوشکاری شده و نفوذ افزایش میابد و با افزایش ولتاژ نفوذ به میزان کمی افزایش میابد چون ولتاژ بیشتر تحت تاثیر جریان می‌باشد و همچنین با کاهش فاصله نازل تا قطعه کار تمرکز حرارتی در منطقه جوشکاری افزایش میابد و باعث افزایش نفوذ جوش میشود

۳ - با توجه به نتایج تحلیل واریانس بدست آمده ضریب همبستگی 93.6% و مقدار مطلوبیت برابر 553.0 می‌باشد.

مراجع

رشیدی، علی رضا(۱۳۸۸). استفاده از مدل برنامه ریزی آرمانی غیر خطی برای بهینه سازی مسائل دارای چند سطح پاسخ: فصلنامه مدیریت. سال ششم. شماره ۱۴.

کوکبی، امیر حسین(۱۳۸۳). تکنولوژی جوشکاری: انتشارات آزاده. جامعه ریخته‌گران.

ناطقبهزاد و هنربخش رئوف ، عباس و وحدتی خاکی، جلیل (۱۳۸۹). تعیین شرایط بهینه تولید آلیاژ آمورف در سامانه Ni-Sn در حضور تیتانیم به روش آلیاژسازی مکانیکی با استفاده از روش تاگوچی. چهارمین همایش مشترک انجمن مهندسی متالورژی و انجمن علمی ریخته‌گری ایران: دانشگاه علم و صنعت. ص ۴۳۸-۴۵۱.

Aghakhani.M., Ghaderi. M.R., Eslampanah A.H., & Farzamnia.S.(2012)."Prediction of bead width in submerged arc welding process using nano TiO₂ by fuzzy logic". 20th Annual International Conference on Mechanical Engineering-ISME, Iran.

Aghakhani.M., Ghaderi. M.R., Rajabi.L., & Derakhshan.A.A.(2011)."Modeling of weld penetration in submerged arc welding of mild steel coated with TiO₂ Nano particles using response surface methodology". Journal of Nanoengineering and Nanomanufacturing. 1(2011), Pp .203-211.

Chatterjee.S., & Hadi.A.S.(2006). "Regression Analysis by Example". Wiley-Interscience.

Chen. W., Allen.J.K., Tsui.K.L., & Mistree. F.(1996)."A procedure for robust design:minimizing variations caused by noise factors and control factors", ASME Journal of Mechanical Design. 4(1996), Pp. 478-485.

Du. X., Sudjianto. A., & Chen.W.(2004)."An integrated framework for optimization under uncertainty using inverse reliability strategy". ASME Journal of Mechanical Design. 126 (4) (2004), Pp. 562-570.

Fattahi. M., Nabhani.N., Vaezi.M., & Rahimi.E.(2011)"Improvement of impact toughness of AWS E6010 weld metal by adding TiO₂ nanoparticles to the electrode coating". Materials Science and Engineering.A;528(2011), Pp.8031-8039.

Gunaraj.V., & Murugan.N.(2000)."Prediction and optimization of weld bead volume for the submerged arc process". Welding Journal AWS, Pp.286-294.

Houldcroft. P. T.(1989)." Submerged Arc Welding 2nd ed". Abington Publishing. Cambridge. England.

Lu.Sh., Fujii.H., Sugiyama.H., Tanaka.M., & Nogo. K.(2002)."Weld penetration and marangoni convection with oxide fluxes in GTA welding". Materials Transactions, vol. 43 . No. 11 Pp.2926 - 2931.

Ma.A.(2001). "Effect of TiO₂ - containing fluxes on the mechanical properties and microstructure in submerged-arc weld steels". Material characterization. 00(2001), Pp.30-31.

Montgomery.D.C., & Runger.G.C. (2010)."Applied Statistics and Probability for Engineers", John Wiley & Sons.

Nagesh .G.L.D.(2002)."Prediction of weld bead geometry and penetration in shielded metal arc welding using artificial neural network". Journal of Materials Processing Technology. No. 123 .Pp.303-312.

Pal.T.K., & Maity.U.K. (2011)." Effect of nano size TiO₂ particles on mechanical properties of AWS E 11018M type electrode". Materials Sciences and Applications. 2(2011), Pp. 1285-1292.

Rowlands. H., & Antony. F. (2003) ." Application of design of experiments to a spot welding process, Assembly Automation". 23(2003), Pp. 273-279.

Roy. R.K.(1990)."A primer on the Taguchi method", New York: Van Nostrand Reinhold.

Seok.H.B., Soon.H.H., Seok .S.C., Deuk.Y.J., & Won.S.J.(2010)." Optimization of process parameters for recycling of mill scale using Taguchi experimental design". Journal of Mechanical Science and Technology .24(10)(2010), Pp.2127-2134.

Tarng. Y.S., Yang.W.H., & Juang.S.C.(2000)." The use of fuzzy logic in the Taguchi method for optimization of the submerged arc welding process". The International Journal of Advanced Manufacturing Technology. 16(2000) ,Pp.688-694.